

**ОБ ОДНОМ МЕТОДЕ ОЦЕНКИ  
АППАРАТУРНЫХ ПОГРЕШНОСТЕЙ АЛГОРИТМА БПФ,  
ОБУСЛОВЛЕННЫХ КВАНТОВАНИЕМ  
ГАРМОНИЧЕСКИХ КОЭФФИЦИЕНТОВ**

Предложенные в работах [1, 2] методы оценки аппаратурных погрешностей алгоритма быстрого преобразования Фурье (БПФ), обусловленных квантованием весовых коэффициентов Фурье (ВКФ), необходимы для оптимального выбора длины регистра в цифровых процессорах БПФ. Однако эти методы справедливы лишь для ограниченного класса сигналов — для сигналов типа белого шума и узкополосных процессов. В данной же работе предлагается простой метод оценки рассматриваемых погрешностей, адекватный для широкого класса анализируемых сигналов.

Представим процесс вычисления  $n$ -го спектрального компонента по сигнальному графу БПФ с учетом погрешности квантования ВКФ в виде

$$\tilde{S}(n) = \sum_{k=0}^{N-1} f(k) \prod_{m=0}^{\gamma-1} (W_{mnk} + \Delta W_{mnk}), \quad (1)$$

где  $\gamma = \log_2 N$  — число итераций БПФ;  $m, n, k$  — индексы, означающие, что комплексный ВКФ  $W_{mnk}$  формируется на  $m$ -й итерации при вычислении  $n$ -го спектрального компонента из  $k$ -го временного отсчета входного массива;  $\Delta W_{mnk}$  — погрешность представления ВКФ. Полагая  $|W_{mnk}| \gg |\Delta W_{mnk}|$  и пренебрегая величинами второго порядка малости, найдем путем преобразований (1) выражение для погрешности  $\Delta S(n)$ , обусловленной квантованием ВКФ:

$$\Delta S(n) = \tilde{S}(n) - S(n) = \sum_{k=0}^{N-1} f(k) e^{-j\frac{2\pi nk}{N}} \left[ \sum_{m=0}^{\gamma-1} \frac{\Delta W_{mnk}}{W_{mnk}} \right], \quad (2)$$

где  $S(n)$  — точный результат БПФ. Отношение  $\Delta W_{mnk}/W_{mnk}$  в выражении (2) является комплексной аддитивной составляющей погрешности ВКФ, возникающей на  $m$ -й итерации БПФ. Сумма в квадратных скобках в (2) — результирующая относительная погрешность представления ВКФ.

Считая погрешность  $\Delta W_{mnk}$  случайной величиной с нулевым средним, найдем дисперсию погрешности  $\Delta S(n)$ :

$$D\{\Delta S(n)\} = M\{\Delta S(n) \Delta S^*(n)\} = M \left\{ \left[ \sum_{k=0}^{N-1} f(k) e^{-j\frac{2\pi nk}{N}} \sum_{m=0}^{\gamma-1} \frac{\Delta W_{mnk}}{W_{mnk}} \right] \times \right. \\ \left. \times \left[ \sum_{k=0}^{N-1} f(k) e^{j\frac{2\pi nk}{N}} \sum_{m=0}^{\gamma-1} \frac{\Delta W_{mnk}^*}{W_{mnk}^*} \right] \right\}. \quad (3)$$

Произведения внешних, а затем внутренних сумм в (3) представим в виде двойных сумм и, учитывая линейность операции математического ожидания, получим

$$D\{\Delta S(n)\} = \sum_{k=0}^{N-1} \sum_{q=0}^{N-1} f(k) f(q) e^{-j\frac{2\pi nk}{N}} e^{j\frac{2\pi nq}{N}} \sum_{m=0}^{\gamma-1} \sum_{r=0}^{\gamma-1} M \left\{ \frac{\Delta W_{mnk}}{W_{mnk}} \frac{\Delta W_{rnq}^*}{W_{rnq}^*} \right\}. \quad (4)$$

Математическое ожидание

$$M \left\{ \frac{\Delta W_{mnk}}{W_{mnk}} \frac{\Delta W_{rnq}^*}{W_{rnq}^*} \right\} \quad (5)$$

из (4) представляет собой коэффициент корреляции между составляющими погрешности, которые вносятся на итерациях  $m$  и  $r$ , при вычислении  $n$ -го спектрального компонента по отсчетам  $k$  и  $q$  исходного массива  $\{f(k)\}_0^{N-1}$ .

Рассмотрим предлагаемый метод применительно к цифровой реализации процессора БПФ с арифметикой с фиксированной запятой, учитывая при этом, что полученные результаты могут быть распространены без нарушения общности и на гибридную реализацию [3] процессора БПФ.

Полагаем, что формирование массива ВКФ производится в процессоре БПФ одним устройством, например постоянной памятью, и составляющие погрешности  $\Delta W_{mnk}$  и  $\Delta W_{rnq}^*$  коррелированы (выражение (5) не равно нулю, если  $W_{mnk} = W_{rnq}^*$ ). В этом случае конкретный исход (5) зависит от структуры алгоритма БПФ и переменных  $n, m, r, k, q$ .

Введем обозначения:

$$M \left\{ \frac{\Delta W_{mnk}}{W_{mnk}} \frac{\Delta W_{rnq}^*}{W_{rnq}^*} \right\} = \delta^2 \left\{ \frac{\Delta W}{W} \right\} \Psi(n, r, m, q, k), \quad (6)$$

где  $\Psi(n, r, m, a, k)$  — бинарная функция, принимающая значения нуль или единица;  $\delta \left\{ \frac{\Delta W}{W} \right\}$  — среднеквадратичная погрешность, принимаемая нами одинаковой для всех ВКФ.

Подставим (6) в (4) и в результате простых преобразований найдем выражение для среднеквадратичной погрешности спектрального отсчета, вычисляемого по БПФ:

$$\delta \{ \Delta S(n) \} = \delta \left\{ \frac{\Delta W}{W} \right\} \left\{ \sum_{k=0}^{N-1} \sum_{q=0}^{N-1} f(k) f(q) e^{-j \frac{2\pi n(k-q)}{N}} \sum_{m=0}^{\nu-1} \sum_{r=0}^{\nu-1} \Psi(n, r, m, q, k) \right\}. \quad (7)$$

Непосредственная оценка погрешности  $\Delta S(n)$  по (7) затруднительна в силу громоздкости последнего, поэтому оценим  $\delta \{ \Delta S(n) \}$ , применяя неравенство Коши — Буняковского

$$\tilde{\delta} \{ \Delta S(n) \} \leq \delta \left\{ \frac{\Delta W}{W} \right\} \left\{ \sum_{k=0}^{N-1} \sum_{q=0}^{N-1} [f(k) f(q)]^2 \sum_{k=0}^{N-1} \sum_{q=0}^{N-1} \left[ \sum_{m=0}^{\nu-1} \sum_{r=0}^{\nu-1} \Psi(n, r, m, q, k) \right]^2 \right\}^{1/4}. \quad (8)$$

Учитывая равенство Парсевала

$$\sum_{k=0}^{N-1} |f(k)|^2 \frac{1}{N} \sum_{n=0}^{N-1} |S(n)|^2 = \delta^2 \{ S(n) \}, \quad (9)$$

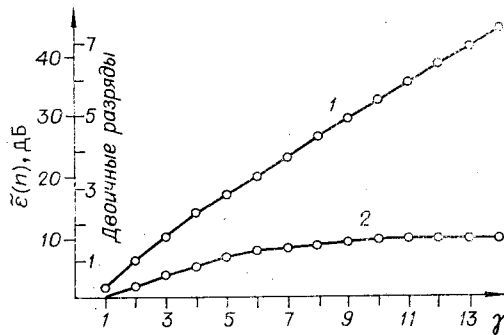
где  $\delta \{ S(n) \}$  представляет собой среднеквадратичное по частоте значение спектральной плотности, найдем следующее окончательное выражение для  $\varepsilon(n)$  — отношения нормированной среднеквадратичной

погрешности спектрального отсчета к среднеквадратичной погрешности весового коэффициента:

$$\tilde{\epsilon}(n) = \frac{\delta\{\Delta S(n)\}}{\delta\{S(n)\}} / \delta\left\{\frac{\Delta W}{W}\right\} = \left\{ \sum_{k=0}^{N-1} \sum_{q=0}^{N-1} \left[ \sum_{m=0}^{\nu-1} \sum_{r=0}^{\nu-1} \Psi(n, r, m, q, k) \right]^2 \right\}^{1/4}. \quad (10)$$

Величина  $\tilde{\epsilon}(n)$  является функцией числа отсчетов в анализируемой реализации сигнала и возрастает при увеличении  $N$ . Анализ выражения (10) для конкретного графа БПФ показывает, что внутреннюю двойную сумму можно представить одинарной суммой, так как  $\Psi(n, r, m, k, q) = 0$ , если  $m \neq r$ . Можно также показать, что  $\sum_{m=0}^{\nu-1} \Psi(n, r, m, k, q)$  не зависит от индекса  $n$ . Приведенные предпосылки позволяют найти численное решение (10) итерационным методом. Для этого достаточно положить известной  $\tilde{\epsilon}(n)$  для массива  $N$  и определить  $\tilde{\epsilon}'(n)$  для массива  $2N$ . Последовательное применение итерационного метода, начиная с  $N=2$ , позволяет найти  $\tilde{\epsilon}(n)$  для произвольного  $N$ .

Для сопоставления полученного результата с известным [1] выражение (10) рассчитывалось на ЭВМ применительно к структуре графа БПФ с децимацией по частоте. В результате была получена зависимость (см. рисунок, кривая 2) величины  $\tilde{\epsilon}(n)$  от размеров вычисляемого массива  $N=2^r$ , позволяющая оценить сверху относительную погрешность для сигналов произвольной формы. На этом же рисунке приведена зависимость (кривая 1)  $\tilde{\epsilon}(n) = \varphi(N)$ , полученная по (4) для сигналов типа белого шума (в этом случае нетрудно показать, что  $\tilde{\epsilon}(n) = \gamma$  и применение неравенства Коши — Буняковского исключается). Сравнение кривых 1 и 2 с результатами [1] показывает совпадение оценок  $\tilde{\epsilon}(n)$  для сигналов, представленных некоррелированными



выборками. В случае анализа сигналов, отличных от белого шума, полученные результаты существенно превышают результаты [1]. Это объясняется применением максимизирующего неравенства. Реальная погрешность, возникающая при анализе сигналов произвольной формы, будет принимать значения, находящиеся в промежутке между приведенными кривыми.

## ВЫВОДЫ

Предложен простой метод оценки погрешностей, обусловленных квантованием гармонических коэффициентов при вычислении спектральных функций по алгоритму БПФ.

Получены оценки для рассматриваемой погрешности, максимизированные по ансамблю анализируемых функций и учитывающие корреляционные связи между отдельными составляющими погрешностями при выполнении БПФ.

На основе сопоставления полученных результатов с известными доказано, что оценка рассматриваемой погрешности по белому шуму

является заниженной и ее применение в аппаратурных разработках может привести к значительным ошибкам для сигналов, отличных от белого шума.

#### ЛИТЕРАТУРА

1. **Оппенгейм А., Вайнштейн К.** Влияние конечной длины регистра при цифровой фильтрации и быстром преобразовании Фурье.— ТИИЭР, 1972, т. 60, № 8, с. 62—74.
2. **James D. V.** Quantization errors in FFT.— "IEEE Trans. on ASSP", 1975, vol. 23-ASSP, N 3, p. 277—283.
3. **Галаган В. Г., Шубс Ю. В.** Гибридные методы вычисления коэффициентов Фурье.— «Вестник КПИ. Сер. радиотехника и электроакустика», 1977, № 14, с. 40—42.

Поступила в редакцию 13 октября 1976 г.;  
окончательный вариант — 14 июля 1977 г.

УДК 62.507

**В. И. ЛЕВИН**

(Пенза)

### АНАЛИЗ ФУНКЦИЙ С ПОМОЩЬЮ БЕСКОНЕЧНОЗНАЧНОЙ ЛОГИКИ

**1. Постановка задачи.** Автоматизация научных исследований, проектирования и конструирования требует постоянного совершенствования средств ввода и вывода из ЭВМ графической информации, а также разработки новых, более совершенных методов анализа такой информации.

Пусть задан график некоторой однозначной функции  $y=f(x)$  (рис. 1). Требуется определить форму заданной кривой, т. е. соотношения между ординатами различных точек кривой. Ясно, что форма кривой, понимаемая в указанном смысле, не меняется при ее аффинных преобразованиях (например, при равномерном растяжении вдоль одной или обеих осей). Это позволяет считать форму кривой носителем существенной информации о кривой. Имея такую информацию, можно решать следующие задачи: 1) определение монотонности (немонотонности) функции  $f$ ; 2) определение числа и характера ее экстремумов; 3) установление сравнительной скорости роста функции на различных участках изменения аргумента; 4) отыскание соотношений локальных экстремумов и точек глобальных экстремумов функции. Отметим, что определение формы кривой  $y=f(x)$  принципиально не требует вычисления ее ординат  $y_i$ ; достаточно только найти соотношения ординат  $y_i$ , соответствующих различным абсциссам  $x_i$ . Это обстоятельство приводит к тому, что анализ формы кривой при надлежащем его выполнении оказывается менее трудоемким процессом, чем полное вычисление кривой.

**2. Идея решения.** Разобьем интервал  $[a, b]$ , на котором задана функция  $y=f(x)$ , на  $n-1$  равных подынтервалов. Для этого введем  $n$  точек деления:

$$\begin{aligned} x_1 &= a, \quad x_2 = a+h, \quad x_3 = a+2h, \quad \dots, \quad x_{n-1} = \\ &= a+(n-2)h, \quad x_n = b; \quad h = (b-a)/(n-1). \end{aligned} \quad (1)$$

Число подынтервалов и длина  $h$  каждого из них определяются в соот-